



# الگوریتم همکاری پرندۀ‌های بدون سرنشین خودکار جهت تعقیب هدف متحرک در محیط پر خطر

اسماعیل خانمیرزا<sup>۱\*</sup>، مرتضی حق‌بیگی<sup>۲</sup>

۱- استادیار، مهندسی مکانیک، دانشگاه علم و صنعت ایران، تهران

۲- دانشجوی کارشناسی ارشد، مهندسی مکانیک، دانشگاه علم و صنعت ایران، تهران

\* تهران، صندوق پستی ۱۶۷۶۵-۱۶۳ khanmirza@iust.ac.ir

## چکیده

خودکاری و همکاری از مهم‌ترین جنبه‌های تحقیقاتی سیستم‌های بدون سرنشین است که به واسطه آن‌ها استفاده بیشتری از مزیت این سیستم‌ها امکان پذیر می‌شود. بیشترین کاربردها مربوط به موسسات دولتی مانند گشت ساحلی، گشت مرزی، خدمات اورژانسی و پلیس است که نیاز به سیستم‌های نظارت و مراقبت دارند. در این تحقیق یک الگوریتم همکاری برای تیمی از پهپادهای خودکار جهت تعقیب هدف متحرک در محیطی پر خطر طراحی و شبیه‌سازی شده است. ابتدا یک فرمول بندی ریاضی برای تعریف منطقه عملیات شامل انواع مختلف تهدیدات در یک چارچوب واحد ارائه شده است، سپس یک استراتژی مذاابت با به کارگیری سیستم قانون پایه، برای هدایت هر پهپاد به موقعیت مشخص شده توسط الگوریتم همکاری ارائه شده است که الزامات تکمیل مأموریت، اجتناب از موانع، کمینه کردن سطح تهدیدات، اجتناب از برخورد و در نظر گرفتن قیود دینامیکی پهپادها را شامل می‌شود. الگوریتم همکاری توسط یک آرایش متغیر وابسته به یک تابع هزینه تعريف شده و به واسطه آن عملکرد تیم تعقیب بهبود یافته است، زیرا منطقه تحت پوشش سنسورها، کیفیت تخمین و انعطاف پهپادها برای یافتن مسیر پروازی افزایش می‌یابد. در انتها کارایی الگوریتم در یک محیط شبیه‌سازی به کمک نرم‌افزار متلب مورد ارزیابی قرار گرفته است که شامل دینامیک پرندۀ‌ها، مدل اندازه‌گیری و ارتباطی و اجرای گسته‌الگوریتم هدایت می‌شود. نتایج شبیه‌سازی نشان می‌دهد که الگوریتم‌های پیشنهادی موفق به ایجاد مسیرهای پروازی مناسب با توجه به الزامات و اهداف مأموریت شده است.

## اطلاعات مقاله

مقاله پژوهشی کامل

دریافت: ۰۴ بهمن ۱۳۹۵

پذیرش: ۲۲ فوریه ۱۳۹۶

ارائه در سایت: ۰۹ اردیبهشت ۱۳۹۶

کلید واژگان:

همکاری

مذاابت خودکار

تعقیب هدف

طراحی مسیر

پرندۀ بدون سرنشین

## Cooperation Algorithm of Autonomous UAVs for Tracking a Dynamic Target in an Adversarial Environment

Esmaeel Khanmirza<sup>1\*</sup>, Morteza Haghbeigi<sup>1</sup>

۱- Department of Mechanical Engineering, Iran University of Science and Technology, Tehran, Iran.

\* P.O.B. 16765-163 Tehran, Iran, khanmirza@iust.ac.ir

### ARTICLE INFORMATION

Original Research Paper  
Received 23 January 2017  
Accepted 11 April 2017  
Available Online 29 April 2017

**Keywords:**  
Cooperation  
Autonomous Guidance  
Target Tracking  
Path Planning  
UAV

### ABSTRACT

Cooperation and autonomy are among the most important aspects of unmanned systems through which greater use of these systems is possible. Most applications in civil market are related to government organizations requiring surveillance and inspection, such as coast guards, border patrol, emergency services and police. A cooperation algorithm is developed and simulated in this research for autonomous UAVs to track a dynamic target in an adversarial environment. First, a mathematical formulation is developed to represent the area of operation that contains various types of threats in a single framework. Then a search point guidance algorithm is developed by using a rule-based approach to guide every UAV to the way points created by the cooperation algorithm, with the requirements of completing mission, avoiding restricted areas, minimizing threat exposure level, considering the dynamic constraints of the UAVs and avoiding collision. The cooperation algorithm is designed based on a variable formation which depends on a cost function. The efficiency of the team is improved in terms of increasing the area of coverage of the sensors, flexibility of the UAVs to search for better trajectories in terms of restricted area avoidance and threat exposure minimization, and improving the estimation. Finally, the performance of the algorithm is evaluated in a MATLAB environment, which includes the dynamics of vehicles, the models of sensor measurement and data communication and the discrete execution of the algorithms. The simulation results demonstrate that the proposed algorithms successfully generated the trajectories that satisfy the given mission objectives.

که پرندۀ‌های بدون سرنشین نیازی به خلبان ندارند می‌توانند ارزان‌تر، با اندازه

کوچک‌تر و چابک‌تر باشند. مطالعات بسیاری پیش‌بینی می‌کنند که بازار

پهپادها شاهد پیشرفت بسیاری در دهه آینده خواهد بود [۱].

تحقیقاتی بسیاری در حوزه وسیع پرندۀ‌های بدون سرنشین در کاربردهای

نظمی و غیرنظمی انجام شده که این تلاش‌ها رویه فزونی است. از آن جایی

### ۱- مقدمه

#### Please cite this article using:

E. Khanmirza, M. Haghbeigi, Cooperation Algorithm of Autonomous UAVs for Tracking a Dynamic Target in an Adversarial Environment, *Modares Mechanical Engineering*, Vol. 17, No. 5, pp. 1-11, 2017 (in Persian)

برای ارجاع به این مقاله از عبارت ذیل استفاده نمایید:

برای تمام منابع خطر موجود در محیط روش مهم دیگر جهت ایجاد نقشه محیط عملیات است [9]. این گونه از نقشه‌ها توابع توزیع چگالی منابع تهدید نامیده می‌شوند.

#### 4-1- طراحی مسیر و ترجیکتوری

یک سیستم خودکار باید امن ترین مسیر برای پرنده جهت حرکت و انجام مأموریت را با استفاده از فرمول‌بندی منطقه عملیات تعیین کند. تعقیب یک هدف در منطقه عملیات با وجود موانع ساکن از کاربردهای مخصوص یک پهپاد است [9]. انجام مأموریت در منطقه عملیاتی دربردارنده موانع و تهدیدات متحرک کاربرد دیگر استفاده از پهپاد است که به فرآیند طراحی مسیر بسیار پیچیده‌تر نیاز دارد [10]. برای فهم کلی مساله طراحی حرکت و روش‌های موجود می‌توان به تحقیقات منتشر شده مانند [11] رجوع کرد. روش‌های مرسوم طراحی مسیر عبارت از نقشه‌های راه<sup>۱</sup>، میدان‌های پتانسیل، الگوریتم‌های جستجوی ابتکاری، روش‌های بهینه‌سازی و روش‌های واکنشی و اجتناب از برخورد الهام گرفته از زیست‌شناسی است.

#### 4-2- طرح ریزی مأموریت و سطح بالای خودکاری

سیستم هدایت تنها محدود به طراحی مسیر نمی‌شود و تحقیقات در زمینه هدایت UAS به مرحله جدیدی از پیشرفت و خودکاری سطح بالا رسیده است. طرح ریزی مأموریت مقدم بر فرایند طراحی مسیر است. برای نمونه نقشه پرواز مورد نظر توسط طراح مأموریت ایجاد شده و مسیرهای بدون برخورد با موانع توسط طراح مسیر ایجاد می‌شود. توانایی تصمیم‌گیری خودکار را می‌توان با استفاده از روش سیستم‌های ماهر<sup>۲</sup> مانند سیستم‌های ماهر قانون پایه و سیستم‌های ماهر فازی ایجاد کرد [12]. معروفی مختصر سیستم‌های ماهر و مقایسه آن‌ها در مرجع [13] ارائه شده است. سیستم قانون پایه رایج ترین سیستم ماهر است که دانش در آن به صورت قوانین ثبت شده است و راه حل‌های مساله براساس اطلاعات مربوطه ارائه شده‌اند.

#### 4-3- تعقیب هدف

زمانی که هدف مورد نظر در مأموریت متحرک باشد مساله به عنوان تعقیب یا ردگیری مطرح می‌شود. طبیعت پویای هدف متحرک قیود دیگری مانند در نظر گرفتن وضعیت هدف و حفظ رویت پذیری هدف را به مساله طراحی مسیر اضافه می‌کند. تعقیب اهداف با تحرک بالا از مأموریت‌های پرکاربرد پهپادهای خودکار است، به ویژه زمانی که عملیات در محیطی با موانع مختلف انجام شود [5].

#### 4-4- نقشه تهدیدات احتمالی

سطح تهدیدات در منطقه عملیاتی پرخطر باید کمینه شده و از موانع و مناطق محسور احتیاب شود. در این تحقیق از تهدید به عنوان یک واژه گسترده برای توصیف ریسک و یا هزینه برای یک پهپاد به منظور اشغال موقعیت داده شده در زمان مشخص استفاده و شامل موانع و مناطق پرواز ممنوع و سایر تهدیدات می‌شود. تهدیدات در این تحقیق به صورت نقشه تهدیدات احتمالی PTEM<sup>۳</sup> تعریف شده است [14] که سطح ریسک قرار گرفتن در معرض منابع تهدید مختلف را به عنوان تابعی از موقعیت و زمان مشخص می‌کند. تمام منابع تهدید در همین چارچوب احتمالی و توسط جمع

<sup>7</sup> Road Maps

<sup>8</sup> Expert system approach

<sup>9</sup> Probabilistic Threat Exposure Map

#### 4-5- هدایت خودکار

زمانی می‌توان از سیستم‌های بدون سرنشین UAS<sup>۱</sup> نهایت استفاده را برد که به صورت خودکار عمل کنند [2]. یک UAS زمانی کاملاً خودکار محسوب می‌شود که مأموریت محوله را در تطبیق با محیط و شرایط مأموریت، بدون هیچ مداخله‌ای توسط انسان یا هر سیستم خارجی دیگر انجام دهد. سطح خودکاری برای سیستم‌های هوایی بدون سرنشین براساس توابع فراهم‌کننده خودکاری موجود در پردازندۀ UAS تعریف می‌شود. این توابع در سه گروه اصلی هدایت، ناوبری و کنترل و به طور خلاصه GNC<sup>۲</sup> دسته‌بندی می‌شوند. سیستم هدایت را می‌توان به عنوان محرک یک UAS تعریف کرد که توابع تصمیم‌گیری را برای بهدست‌آوردن اهداف مأموریت به کار می‌اندازد و جایگزین فرایند شناختی خلبان یا اپراتور انسان می‌شود. سیستم هدایت دستورات لازم برای کنترل کننده پرواز جهت رسیدن به اهداف مأموریت را محاسبه می‌کند و یک عنصر کلیدی در افزایش سطح خودکاری پرنده بدون سرنشین است. یک سیستم هدایت برای UAS شامل پنج بخش اصلی [2] که عبارت از ایجاد ترجیکتوری<sup>۳</sup>، طراحی مسیر<sup>۴</sup>، طراحی مأموریت، تصمیم‌گیری و استدلال و ادراک است. با توجه به نوع مأموریت، توابع مختلف GNC و سطوح مختلف آن‌ها به کار گرفته می‌شوند. در نتیجه روش‌های مختلفی برای تعريف ریاضی منطقه عملیات، طراحی مسیر و فرایند تصمیم‌گیری به کار گرفته می‌شود.

#### 4-6- همکاری

همکاری میان پرنده‌ها توانایی و سطح خودکاری آن‌ها را افزایش می‌دهد. همکاری پرنده‌های بدون سرنشین سطوح مختلفی دارد که می‌تواند شامل همکاری در کنترل، ناوبری، هدایت و یا همه این‌ها باشد. تحقیقات اولیه در زمینه طراحی همکارانه در حوزه رباتیک انجام شده است. در سال‌های اخیر طراحی همکارانه پهپادها به طور گسترده مورد مطالعه قرار گرفته است. این مطالعات در زمینه‌های مختلفی نظری آرایش پرواز پهپادها [3]، طراحی مسیر همکار [4]، تخصیص و رهگیری همکار هدف و تعقیب همکار هدف [5] انجام شده است. بهینه‌سازی مناسب تابع هزینه روش متداول در طراحی همکار است. در بیشتر مسائل طراحی مسیر و میعادگاه یک تابع هزینه به عنوان هزینه تهدیدات کلی تیم تعريف می‌شود [6].

#### 4-7- تعریف منطقه عملیات

برای خودکار بودن با استفاده از سیستم‌های هدایت نظری روش سیستم ماهر، منطقه عملیاتی پهپاد باید با فرمول‌بندی مناسب به صورت کمی تعريف شود. زمانی که منطقه عملیات دارای اجزای خطرناکی مانند منابع تهدید، موانع، اهداف، مناطق محسور و پرواز ممنوع باشد، فرمول‌بندی منطقه چالش برانگیزتر خواهد شد. نقشه اشغال شبکه پایه<sup>۵</sup> رایج ترین روش ایجاد نقشه احتمالاتی یک منطقه نامعلوم است که احتمال وجود هدف و سطح خطر را به هر کدام از سلول‌های شبکه اختصاص می‌دهد [7]. روش نقشه اشغال شبکه پایه بیشتر برای محیط‌هایی با منابع خطر ساکن قابل اعمال است. از تخمین بایاسین به عنوان یک روش احتمالاتی برای مواجهه با محیط‌های پویای نامطمئن استفاده می‌شود [8]. استفاده از توابع توزیع احتمال pdf<sup>۶</sup>

<sup>1</sup> Unmanned Autonomous Systems

<sup>2</sup> Guidance, Navigation, Control

<sup>3</sup> Trajectory Generation

<sup>4</sup> Path Planning

<sup>5</sup> Grid-based occupancy map

<sup>6</sup> Probability distribution function

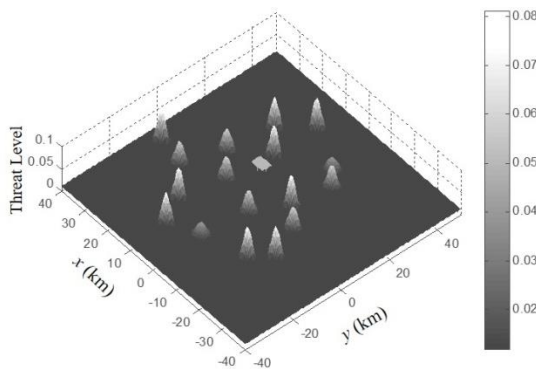


Fig. 1 نقشه تهدیدات احتمالی سه‌بعدی

استفاده کنند و علاوه‌بر موقعیت به وضعیت حرکتی هدف نیاز دارند؛ بنابراین یک الگوریتم تخمین جهت فیلتر کردن اغتشاشات اندازه‌گیری و نیز تخمین سرعت و جهت هدف مورد نیاز است. الگوریتم تخمین برای پیش‌بینی حرکت هدف، زمانی که امکان اندازه‌گیری نیست به کار می‌رود. برای نمونه زمانی که پرنده هدف را هنگام انجام مانور برای اجتناب از تهدیدات گم کند، الگوریتم هدایتی می‌تواند پرنده را به سمت موقعیت تخمینی هدف هدایت کند تا این که هدف دوباره در محدوده سنسور قرار گیرد. مدل تخمین حتی زمانی که هدف در برد سنسور قرار دارد برای پیش‌بینی موقعیت هدف در زمان محاسباتی بعدی به کار می‌رود. زمان بهنگام‌سازی تخمین برابر با  $T_e$  است و موقعیت هدف  $x$  و  $y$  توسط سنسور روی پرنده به صورت عبارات (8,7) اندازه‌گیری می‌شود.

$$\tilde{x}_t(k) = x_t(k) + v_x(k) \quad (7)$$

$$\tilde{y}_t(k) = y_t(k) + v_y(k) \quad (8)$$

که  $\tilde{x}_t(k)$  و  $\tilde{y}_t(k)$  موقعیت اندازه‌گیری شده هدف،  $x_t(k)$  و  $y_t(k)$  موقعیت حقيقی هدف و  $v_x(k)$  و  $v_y(k)$  نمونه‌ای از نویز سفید گوسی بر اندازه‌گیری‌های  $x$  و  $y$  در لحظه  $k$  هستند. تخمین به روش حداقل مربعات همراه با محاسبه دسته‌ای صورت گرفته است. تنها تعداد مشخصی از اندازه‌گیری‌ها ذخیره می‌شوند و آرایه اندازه‌گیری با هر اندازه‌گیری بهنگام می‌شود. مقادیر قدیمی حذف شده و در نتیجه اندازه‌آرایه ثابت می‌ماند. در حقیقت این امر هنگام انتقال بین حالت‌های مختلف حرکت ضروری است. تخمین گر مرتبه دوم برای تخمین هر دو موقعیت  $x$  و  $y$  هدف توسط مدل اندازه‌گیری روابط (9,10) به کار رفته است.

$$\tilde{x}(k) = H(k)X_x(k) + v_x(k) \quad (9)$$

$$\tilde{y}(k) = H(k)Y_y(k) + v_y(k) \quad (10)$$

ماتریس اندازه‌گیری، پارامترهای تخمین وتابع پایه به صورت روابط (14-11) تعریف شده‌اند.

$$\tilde{x}(k) = [\tilde{x}_t(k_m - n + 1) \ \tilde{x}_t(k_m - n + 2) \ \dots \ \tilde{x}_t(k_m)]^T \quad (11)$$

$$\tilde{y}(k) = [\tilde{y}_t(k_m - n + 1) \ \tilde{y}_t(k_m - n + 2) \ \dots \ \tilde{y}_t(k_m)]^T \quad (12)$$

$$X_x(k) = [a_\psi(k) \ b_\psi(k) \ c_\psi(k)]^T \quad (13)$$

$$Y_y(k) = [d_V(k) \ e_V(k) \ f_V(k)]^T \quad (14)$$

متناسب با لحظه اندازه‌گیری است و  $n = \min\{n_{sw}, k_m\}$  یعنی  $k_m$

توابع چگالی احتمال توصیف شده‌اند. اگر تهدید توسط تابع چگالی احتمالی pdf مشخص شود، برای توصیف کامل آن دو پارامتر مورد نیاز است. مقدار متوسط که نقطه مرکزی منبع تهدید را مشخص می‌کند و واریانس که سطح اثر بخشی تهدید را تعیین می‌کند، همچنین می‌توان از توزیع یکنواخت برای مدل کردن موانع و تهدیدات استفاده کرد. موقعیت در منطقه توسط یک بردار  $r$  نسبت به مرکز دستگاه مختصات مشخص می‌شود که نمایش برداری آن به صورت  $r = [x \ y]^T$  است. برای یک محیط دو بعدی با چندین منبع تهدید ( $N$  تعداد تهدیدات)، توسط توزیع گاوین به شکل رابطه (1) توصیف می‌شود.

$$f(r) = \sum_{i=1}^N \frac{1}{2\pi\sqrt{\det(K_i)}} \exp\left[-\frac{1}{2}(r - \mu_i)^T K_i^{-1}(r - \mu_i)\right] \quad (1)$$

که  $\mu_i$  و  $K_i$  بردار میانگین و ماتریس کواریانس تهدید  $i$  است و به این صورت رابطه (2) تعریف شده‌اند.

$$K_i = \begin{bmatrix} \sigma_{x,i}^2 & 0 \\ 0 & \sigma_{y,i}^2 \end{bmatrix}, \mu_i = \begin{bmatrix} \mu_{x,i} \\ \mu_{y,i} \end{bmatrix} \quad (2)$$

اگر منابع تهدید، موانع و مناطق محصور دیگری وجود دارند که باید توسط توابع توزیع دیگری نظری تابع توزیع احتمالی یکنواخت مدل شوند، جمع موجود در رابطه (1) شامل pdf‌هایی نظری تابع (3) خواهد شد.

$$u(r) = \begin{cases} \frac{1}{(b-a)(d-c)}, & a \leq x \leq b, c \leq y \leq d \\ 0, & (x < a \text{ or } x > b), (y < c \text{ or } y > d) \end{cases} \quad (3)$$

شکل 1 یک PTEM نمونه تشکیل شده توسط مجموعه‌ای از گاوین pdf و یکنواخت را به صورت سه نشان می‌دهد. اگر پارامترهای pdf ثابت باشند تخمین نیز نسبت به زمان ثابت خواهد ماند. باید دقت داشت که سطح تهدید کمیتی بی‌بعد بوده و در تمام شکل‌ها و کانتورها نیز مقداری بی‌بعد است.

## 2- تقسیم نواحی با توجه به سطح تهدید

می‌توان منطقه عملیات را با توجه به مقدار PTEM به چندین زیرمنطقه تقسیم کرد. طبقه‌بندی موقعیت داده شده براساس ناحیه که در آن قرار دارد، نواحی مسیر و استراتژی‌های تعقیب را تسهیل خواهد کرد. منطقه عملیات به سه زیرمنطقه تقسیم می‌شود.

- منطقه  $A_1$ : در این منطقه مقدار PTEM همیشه کمتر از مقدار  $f_{max}$  است.

$$A_1(t) = \{r : f(r) \geq f_{max}\} \quad (4)$$

- منطقه  $A_2$ : در این منطقه مقدار PTEM بین مقادیر  $f_i$  و  $f_r$  است.

$$A_2(t) = \{r : f_{max} < f(r) < f_r\} \quad (5)$$

- منطقه  $A_3$ : در این منطقه مقدار PTEM بیشتر و یا برابر با  $f_r$  است.

$$A_3(t) = \{r : f(r) > f_r\} \quad (6)$$

به مناطق نوع  $A_3$  که پهپاد نباید وارد آن‌ها شود مناطق غیرمجاز  $A_r$  نیز گفته می‌شود. باید توجه کرد که اگر نقصه احتمالی نسبت به موقعیت و ناحیه تأثیر متغیر با زمان باشد این سه زیرمنطقه در طول زمان ثابت نخواهد بود.

## 3- تخمین

در تحقیق کنونی فرض شده که پرنده‌ها مجهز به سنسورهایی است که موقعیت هدف را اندازه‌گیری می‌کنند و موانع تأثیری در اندازه‌گیری توسط سنسورها ندارند. الگوریتم‌های هدایت نمی‌توانند از اندازه‌گیری‌های با اغتشاش

سرعت و اماندگی پرنده است. قیود سرعت نیز ثابت فرض شده‌اند، اما در واقعیت آن‌ها نیز تابعی از وضعیت پرنده است.  
ج) قیود شتاب بیشینه و کمینه: توانایی محدود پرنده در گرفتن شتاب توسط قیود بیشترین  $a_{\max}$  و کمترین شتاب  $a_{\min}$  کمی شده است.

#### 4-2-استراتژی تعقیب هدف

تعقیب هدف متحرک در منطقه‌ای با تهدیدات مختلف نیاز به مصالحه میان دو خواسته به احتمال متضاد مأموریت یعنی ماندن در مجاورت هدف و کمینه‌سازی سطح تهدیدات دارد. الزام اول توسط دایره مجاورت کمی شده، دایره‌ای که مرکز آن منطبق بر هدف است و همراه با آن حرکت می‌کند (شکل 3). در طول مأموریت طبق رابطه (23) استراتژی تعقیب سعی در حفظ پرنده در داخل دایره مجاورت دارد.

$$|r_{\text{UAV}} - r_t| \leq r_p \quad (23)$$

$r_p$ شعاع دایره مجاورت و  $r_t$  به ترتیب بردار موقعیت پرنده و هدف است. شعاع دایره مجاورت،  $r_p$  پارامتر طراحی است و میزان نزدیکی پرنده به هدف را مشخص می‌کند. فرض شده موقعیت هدف تا زمانی که در محدوده برد سنسور باشد قابل اندازه‌گیری است. این قید به صورت رابطه (24) بیان شده و  $r_p$  شعاع و یا برد سنسور که در شکل 3 نیز نشان داده است.

$$|r_{\text{UAV}} - r_t| \leq r_s \quad (24)$$

شعاع دایره مجاورت،  $r_p$  مشخص کننده میزان مصالحه میان نزدیکی به هدف و سطح تهدیدات است. با تعیین شعاع مجاورت بزرگ‌تر، استراتژی منطقه وسیع‌تری را برای یافتن مسیر با سطح پایین تهدیدات جستجو می‌کند، اما هدف را با فاصله بیشتری دنبال می‌کند و نیز ریسک خارج شدن هدف از برد سنسور افزایش می‌یابد.

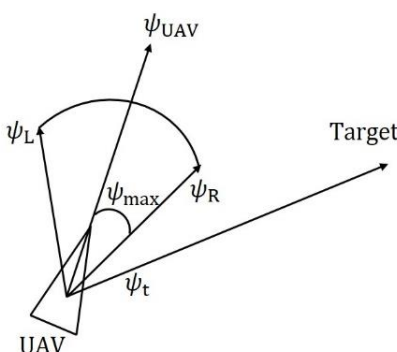


Fig. 2 Heading search cone and target direction [12]

شکل 2 مخروط جستجوی جهت و سمت هدف [12]

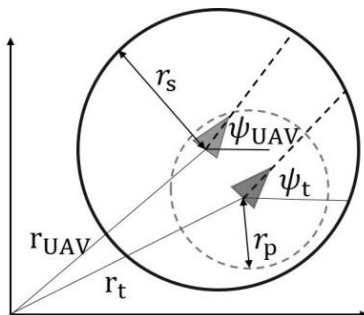


Fig. 3 Proximity and Sensor Circles [12]

شکل 3 دایره‌های مجاورت و سنسور [12]

ماتریس اندازه‌گیری در هر لحظه یکی افزایش می‌یابد تا زمانی که به بیشترین اندازه خود ( $n_{\text{sw}}$ ) برسد. برای شروع تخمین خطی حداقل مربعات با تخمین گر درجه دوم، حداقل 3 اندازه‌گیری موقعیت مورد نیاز است. معادلات مورد نیاز برای تخمین به صورت روابط (16,15) است.

$$\hat{x}_x(k) = [H(k)^T H(k)]^{-1} H(k)^T \tilde{x}(k) \quad (15)$$

$$\hat{y}_y(k) = [H(k)^T H(k)]^{-1} H(k)^T \tilde{y}(k) \quad (16)$$

$\hat{x}(k)$  و  $\hat{y}(k)$  شامل ضرایب تخمین برای تخمین گر مرتبه دوم هستند؛ بنابراین موقعیت‌های تخمین زده در بهنگام‌سازی  $k$  برابر با روابط (18,17) است.

$$\hat{x}_t(k) = \hat{c}_x(k)(kT_e)^2 + \hat{b}_x(k)kT_e + \hat{a}_x(k) \quad (17)$$

$$\hat{y}_t(k) = \hat{f}_y(k)(kT_e)^2 + \hat{e}_y(k)kT_e + \hat{d}_y(k) \quad (18)$$

از آنجایی که موقعیت به عنوان تابعی از زمان تخمین زده می‌شود می‌توان برای تخمین سرعت و جهت نیز از آن به صورت روابط (20,19) استفاده کرد.

$$\dot{\hat{x}}_t(k) = 2\hat{c}_x(k)kT_e + \hat{b}_x(k) \quad (19)$$

$$\dot{\hat{y}}_t(k) = 2\hat{f}_y(k)kT_e + \hat{e}_y(k) \quad (20)$$

سرعت و جهت تخمینی با استفاده از معادلات سینماتیکی در لحظه بهنگام‌سازی به صورت روابط (22,21) بدست می‌آید.

$$\hat{v}_t(k) = \sqrt{\dot{\hat{x}}_t(k)^2 + \dot{\hat{y}}_t(k)^2} \quad (21)$$

$$\hat{\psi}_t(k) = \tan^{-1}\left[\frac{\dot{\hat{y}}_t(k)}{\dot{\hat{x}}_t(k)}\right] \quad (22)$$

همچنین می‌توان از توابع تخمین موقعیت برای پیش‌بینی موقعیت هدف در لحظه بهنگام‌سازی ( $k+1$ ) استفاده کرد.

#### 4-الگوریتم هدایت جستجوی نقطه‌ای

طراحی مسیر برای تعقیب هدف زمانی که هدف مورد نظر در عملیات متحرک باشد با توجه به نقشه و نیز وضعیت تخمینی و پیش‌بینی شده هدف صورت می‌گیرد. علاوه بر این قیود دینامیکی پرنده نیز باید مورد نظر قرار گیرد و از موانع و مناطق پرواز منع اجتناب شود. در این تحقیق الگوریتم هدایت جستجوی نقطه‌ای [15] برای هدایت پرنده‌های تعقیب‌گر به نقاط راه ایجاد شده توسط الگوریتم همکاری به کار گرفته شده است.

#### 4-1-قیود دینامیکی پرنده

استراتژی هنگام محاسبه دستورات هدایتی باید قیود دینامیکی پرنده را نیز در نظر داشته باشد. قیود دینامیکی پرنده به شرح زیر است.

(الف) قید تغییر جهت HC<sup>1</sup>: پرنده نمی‌تواند جهت خود را به یکباره تغییر دهد. سرعت تغییر جهت با توجه به دینامیک پرنده محدود می‌شود. این قید با تعریف زاویه مدل شده که برابر با بیشترین تغییر زاویه ممکن برای جهت پرنده در هر بازه شبیه‌سازی است.  $\psi_{\max}$  بدون توجه به سرعت پرنده ثابت فرض شده است. مخروط قید جهت براساس این زاویه به صورت محدوده زاویه‌های تغییر جهت مجاز تعریف شده است که با پرنده جایه‌جا می‌شود (شکل 2). این مخروط توسط  $\psi_L$  و  $\psi_R$  مرزبندی شده که به ترتیب عبارت از بیشترین زاویه مجاز چرخش به چپ و راست است.

(ب) قیود سرعت بیشینه و کمینه: پرنده دارای کمترین سرعت  $V_{\min}$  و بیشترین سرعت  $V_{\max}$  قابل پرواز است. سرعت کمینه به مقدار 30% بیشتر از

<sup>1</sup> Heading Constraint

افزایش سرعت آن افزایش پیدا می‌کند. اگر اختلاف جهت محدود نشود، امکان دارد استراتژی جهت پرندۀ را برای کاهش سطح تهدیدات، زمانی که پرندۀ در دایره مجاورت قرار دارد به صورت ناگهانی تغییر دهد. این مساله ریسک خروج پرندۀ از دایره مجاورت و خروج هدف از برد سنسور را افزایش می‌دهد. برای محدود کردن حرکت پرندۀ در داخل و اطراف دایره مجاورت زاویه  $\psi_{HDC}$ <sup>1</sup> تعریف شده است. از آنجایی که امکان دارد تناسب میان جهت پرندۀ و هدف محدود کننده باشد، مخصوصاً زمانی که سرعت هدف کم باشد و یا هدف متوقف شده باشد، طبق فرمول (25) یک رابطه خطی میان  $\psi_{HDC}$ <sup>1</sup> و سرعت تخمینی هدف تعریف شده است. اختلاف جهت ثابت  $\psi_{HDC}^*$ <sup>1</sup> برای زمانی که سرعت تخمینی هدف،  $V_{es}$ ، بزرگتر از مقدار سرعت از پیش تعیین شده،  $V_{thres}$ ، باشد تعریف شده است. با کاهش  $V_{es}$  به سمت صفر،  $\psi_{HDC}^*$ <sup>1</sup> باید به مقدار  $\pi$  نزدیک شود. به این معنی که با کاهش سرعت تخمینی به صفر، قید اختلاف جهت میان پرندۀ و هدف وجود ندارد.

$$\psi_{HDC} = \begin{cases} \psi^*_{HDC}, & V_{est} \geq V_{thres} \\ \left( \frac{\psi^*_{HDC} - \pi}{V_{thres}} \right) V_{est} + \pi, & V_{est} < V_{thres} \end{cases} \quad (25)$$

مشابه مخروط قید جهت، مخروط اختلاف جهت HD نیز طبق رابطه (26) تعريف شده است و همراه با هدف حرکت می‌کند.

$$|\psi_{UAV} - \psi_{target}| \leq \psi_{HDC} \quad (26)$$

مخروط قید جهت، مقادیر مجاز تغییر جهت را تعیین می‌کند و مخروط اختلاف زاویه، مقادیر دلخواه جهت برای پرندۀ مشخص می‌کند. اگر هیچ سطح مشترکی میان دو مخروط وجود نداشته باشد، نزدیکترین جهت به جهت هدف که حد چپ و یا راست مخروط قید جهت باشد انتخاب خواهد شد. محدوده قابل جستجو SHR<sup>2</sup>، به صورت مخروط مشترک میان مخروط‌های قید جهت و اختلاف جهت تعریف شده است. ناحیه‌ی مشترک میان مخروط SHR و دایره مجاورت مشخص کننده نقاط جستجو برای کمینه‌سازی تهدیدات است. اگر ناحیه مشترکی وجود نداشته باشد، به این معنی است که اگر جهت انتخابی از مخروط SHR باشد، پرندۀ در خارج از دایره مجاورت قرار خواهد گرفت. برای اجتناب از این اتفاق، مخروط مجاورت همان‌طور که در شکل 5 نشان داده شده است به صورت مجموعه‌ای از جهات که پرندۀ را از موقعیت کنونی به دایره مجاورت هدف می‌رساند تعریف شده است. از آنجایی که قرار گرفتن پرندۀ در مجاورت هدف اولویت بیشتری از کاهش سطح تهدیدات دارد، زمانی که پرندۀ در خارج از دایره مجاورت قرار دارد، تنها ناحیه مشترک میان مخروط مجاورت و مخروط قید جهت بررسی خواهد شد.

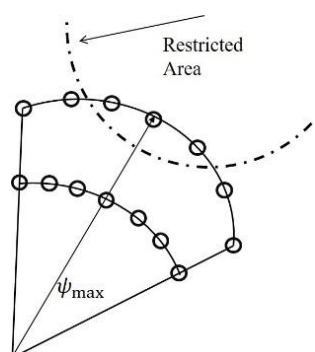


Fig. 4 Search for the Restricted Area

شکل 4 جستجو برای اجتناب از نواحی با سطح تهدید بالا

<sup>2</sup> Searchable heading range

در صورت تغییر ناگهانی در سرعت و جهت هدف نیز امکان قرار گرفتن هدف در ناحیه خارج برد سنسور وجود دارد. زمانی که هدف در خارج از محدوده برد سنسور قرار گرفته باشد، موقعیت هدف، سرعت و جهت آن توسط مدل تخمینی به دست آمده از اندازه‌گیری پیش‌بینی می‌شود. پیش‌بینی برای هدایت پرندۀ به سمت هدف به کار می‌رود تا پرندۀ دوباره در مجاورت هدف قرار گیرد و اندازه‌گیری ادامه پیدا کند. از آنجایی که استراتژی پرندۀ را براساس موقعیت هدف در زمان محاسباتی بعدی هدایت می‌کند و نه موقعیت کنونی آن حتی زمانی که هدف در برد سنسور قرار دارد، مدل تخمین برای پیش‌بینی موقعیت هدف در زمان محاسباتی بعدی به کار می‌رود.

استراتژی دارای سه هدف اصلی است که به ترتیب اولویت عبارتند از:

- خارج کردن پرندۀ از منطقه پرواز ممنوع  $A_r$
- حفظ یا قرار دادن پرندۀ در دایره مجاورت
- کمینه‌سازی سطح تهدیدات

برای دستیابی به این اهداف استراتژی دستورات هدایتی جهت  $\psi_{cmd}$  و سرعت  $V_{cmd}$  را برای پرندۀ ایجاد می‌کند. برای رسیدن به اهداف بدون نقض قیود دینامیکی از چندین قانون برای اختلاف سرعت و جهت پرندۀ و هدف استفاده شده است. استراتژی چندین نقطه توزیع شده به صورت یکسان روی کمان محدود شده توسط  $\psi_L$  و  $\psi_R$  را بررسی می‌کند تا دستورات هدایتی جهت و سرعت را در هر مرحله شبیه‌سازی ایجاد کند. شاعع کمان توسط سرعت کنونی پرندۀ و زمان هر مرحله شبیه‌سازی مشخص می‌شود. با افزایش سرعت پرندۀ فاصله جستجو افزایش پیدا می‌کند.

#### 4- جستجوی ناحیه پرواز ممنوع

برای اطلاع از وضعیت پرندۀ در ارتباط با قرار گرفتن در معرض ریسک ورود به ناحیه  $A_r$ ، علاوه‌بر بررسی نقاط پروازی ممکن، استراتژی از نقاط جستجوی دیگری نیز استفاده می‌کند که روی کمانی به شاعع دو برابر کمان اول و در راستای نقاط ممکن پروازی قرار گرفته‌اند. شکل 4 نحوه تعیین کمیت ریسک قرار گرفتن در کمان دوم خارج از منطقه پرواز ممنوع را نشان می‌دهد. اگر تعدادی از نقاط جستجو در کمان دوم باشند، این نقاط ممکن انتظار در کمان اول وجود دارد. اگر تمامی نقاط جستجوی کمان دوم در منطقه پرواز ممنوع باشند پرندۀ در معرض ریسک بالای ورود به این منطقه قرار دارد. نقاط جستجوی نهایی از میان نقاط پیشنهادی براساس قیود دینامیکی پرندۀ و پارامترهای استراتژی انتخاب می‌شوند.

#### 4- قیود استراتژی

علاوه‌بر قیود دینامیکی، مکانیزم‌های دیگری نیز برای حفظ پرندۀ در مجاورت هدف تعريف شده است.

- حفظ اختلاف جهت به اندازه کوچک
- حفظ اختلاف سرعت به مقدار کم

مکانیزم اول توسط  $\psi_{HDC}$ <sup>1</sup>، قید اختلاف جهت و مکانیزم دوم توسط قید اختلاف سرعت تعريف است.

#### 4-1- قید اختلاف جهت HD<sup>1</sup>

برای حفظ اختلاف جهت پرندۀ و هدف به مقداری کم باید این اختلاف را محدود کرد. موضوع از این جهت ضروری است که شاعع چرخش پرندۀ با

<sup>1</sup> Heading Difference Constraint

هدف  $V_{est}$  به صورت روابط (31,30) خواهد بود.

$$\psi_{cmd} = \psi_{min-pr} \quad (30)$$

$$V_{cmd} = \begin{cases} V_{min}, & V_{est} \leq V_{min} \\ V_{est}, & V_{min} < V_{est} < V_{max} \\ V_{max}, & V_{est} \geq V_{max} \end{cases} \quad (31)$$

مورد 3: پرنده در معرض ریسک پایین بوده و هیچ کدام از نقاط در دایره مجاورت قرار ندارند؛ بنابراین برای رساندن پرنده به موقعیت پیش‌بینی شده هدف، جهت متناسبی ( $\psi_{cl}$ ) برساند انتخاب می‌شود. علاوه‌بر این سرعت مشخص شده برای پرنده برابر با  $V_{est}$  است که در محدوده مجاز قید سرعت به صورت روابط (33,32) باشد.

$$\psi_{cmd} = \psi_{cl} \quad (32)$$

$$V_{cmd} = \begin{cases} V_{min}, & V_{est} \leq V_{min} \\ V_{est}, & V_{min} < V_{est} < V_{max} \\ V_{max}, & V_{est} \geq V_{max} \end{cases} \quad (33)$$

مورد 4: ریسک ورود به منطقه پرواز ممنوع وجود ندارد و ناحیه مشترکی میان مخوطه‌های HC و HD وجود دارد؛ بنابراین نقاط موجود در ناحیه قابل جستجو مورد ارزیابی قرار می‌گیرند. میان نقاط جستجوی قرار گرفته در دایره مجاورت، جهت که کمترین احتمال ناتوانی را نتیجه دهد ( $\psi_{min-pr}$ ) انتخاب خواهد شد. تا زمانی که سرعت تخمینی در محدوده سرعت مجاز پرنده باشد به عنوان سرعت دستوری به صورت روابط (35,34) تعیین می‌شود.

$$\psi_{cmd} = \psi_{min-pr} \quad (34)$$

$$V_{cmd} = \begin{cases} V_{min}, & V_{est} \leq V_{min} \\ V_{est}, & V_{min} < V_{est} < V_{max} \\ V_{max}, & V_{est} \geq V_{max} \end{cases} \quad (35)$$

مورد 5: هیچ کدام از نقاط SHR در دایره مجاورت قرار ندارند، اما از آن جا که سطح مشترکی میان مخوطه‌های مجاورت و SHR وجود دارد، پرنده جهش به سمت دایره مجاورت خواهد بود؛ بنابراین برای نزدیک شدن به هدف جهتی که در مخوطه HC باشد و پرنده را به موقعیت پیش‌بینی شده نزدیک‌تر کند،  $\psi_{cl}$  انتخاب خواهد شد. در این راستا استراتژی PTEM را در پنج نقطه دیگر ارزیابی می‌کند. این نقاط به صورت  $V_{\Delta t}$  در فواصل زمانی مختلف تعريف شده‌اند. اگر مقدار PTEM در تمامی این نقاط کمتر از  $f_r$  باشد استراتژی دستور به افزایش سرعت می‌دهد تا پرنده در سریع‌ترین زمان در مجاورت هدف قرار گیرد. سرعت مورد نیاز ( $V_{req}$ ) تا پرنده در دایره مجاورت قرار گیرد در محاسبه بعدی به صورت روابط (37,36) بدست‌آمد است.

$$\psi_{cmd} = \psi_{cl} \quad (36)$$

$$V_{cmd} = \begin{cases} V_{min}, & V_{req} \leq V_{min} \\ V_{req}, & V_{min} < V_{req} < V_{max} \\ V_{max}, & V_{req} \geq V_{max} \end{cases} \quad (37)$$

مورد 6: سطح مشترکی میان مخوطه‌های مجاورت و SHR وجود ندارد. برای بازگرداندن پرنده به سمت دایره مجاورت به پرنده دستور داده می‌شود تا به سمت نزدیک‌ترین جهت به هدف در مخوطه قید جهت ( $\psi_{cl}$ ) پیچید و سرعتی برابر با سرعت هدف به صورت روابط (39,38) داشته باشد.

$$\psi_{cmd} = \psi_{cl} \quad (38)$$

$$V_{cmd} = \begin{cases} V_{min}, & V_{est} \leq V_{min} \\ V_{est}, & V_{min} < V_{est} < V_{max} \\ V_{max}, & V_{est} \geq V_{max} \end{cases} \quad (39)$$

مورد 7: ریسک ورود به منطقه  $A_r$  وجود ندارد، همچنین سطح مشترکی میان مخوطه‌های HD و HC وجود ندارد؛ بنابراین برای کم کردن اختلاف جهت میان هدف و پرنده، جهت متناسب چپ و یا راست مخوطه قید جهت انتخاب

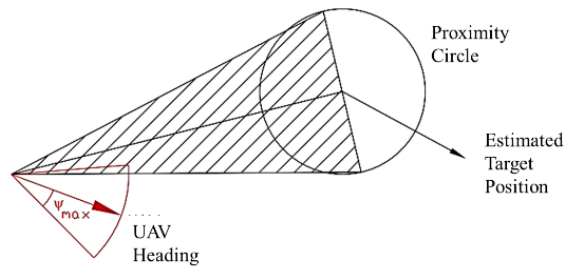


Fig. 5 Steering UAV into the proximity circle [15]

شکل 5 هدایت پرنده به سمت دایره مجاورت [15]

#### 4-2-2- قید اختلاف سرعت

برای این که بتوان هدف را تعقیب کرد، اختلاف سرعت میان پرنده و  $V_{UAV}$  و سرعت هدف،  $V_t$ ، باید محدود شود که این موضوع به صورت رابطه (27) بیان شده است.

$$|V_{UAV} - V_t| \leq V_{DC} \quad (27)$$

مقدار مطلوب اختلاف سرعت  $V_{DC}$  صفر تعريف شده است، یعنی استراتژی می‌خواهد تا زمانی که سرعت هدف در محدوده سرعت مجاز پرنده قرار دارد، سرعت پرنده برابر با سرعت هدف باشد. البته اگر پرنده در خارج از دایره مجاورت قرار گیرد، به پرنده دستور داده خواهد شد تا به مجاورت هدف برسد.

#### 3-4- موارد استراتژی

برای رسیدن به اهداف تحت قیود گفته شده استراتژی از چندین قانون برای اختلاف جهت و سرعت پرنده و هدف استفاده می‌کند. این قوانین با توجه به موارد زیر تغییر می‌کنند.

- پرنده در معرض ریسک وارد شدن به منطقه  $A_r$  باشد.

- سطح مشترکی میان مخوطه‌های HC و HD وجود داشته باشد.

- پرنده در دایره مجاورت قرار داشته باشد.

- سطح مشترک میان مخوطه‌های مجاورت و HC وجود داشته باشد.

با توجه به این که هر کدام از موارد بالا برقرار باشد یا نه، هفت مورد مختلف به صورت زیر تعریف می‌شوند که نمودار تصمیم‌گیری حاصل شده در شکل 6 قابل مشاهده است.

مورد 1: پرنده در معرض ریسک بالای ورود به منطقه  $A_r$  قرار دارد. برای هدایت پرنده به خارج از منطقه ریسک بالا در سریع‌ترین زمان ممکن، تیزترین چرخش ممکن انجام می‌شود. برای افزایش نرخ پیچش پرنده، سرعت پرنده برابر با  $V_{min}$  تعیین شده است. ( $X_L, Y_L$ ) و ( $X_R, Y_R$ ) در روابط (29,28) موقعیت‌های متناسب با حد چپ و راست جهت پرنده هستند.

$$\psi_{cmd} = \begin{cases} \psi_R, & f_{XY}(X_L, Y_L) \geq f_{XY}(X_R, Y_R) \\ \psi_L, & f_{XY}(X_L, Y_L) < f_{XY}(X_R, Y_R) \end{cases} \quad (28)$$

$$V_{cmd} = V_{min} \quad (29)$$

مورد 2: پرنده در معرض ریسک پایین قرار گرفتن در منطقه  $A_r$  است. برای خروج پرنده از منطقه پرواز ممنوع، نقاط جستجوی کمان دوم که در منطقه پرواز ممنوع قرار دارند تعیین می‌شوند. نقاط متناظر در کمان اول حذف شده و سپس PTEM در نقاط دیگر مورد ارزیابی قرار می‌گیرد. اگر تعدادی از این نقاط در دایره مجاورت قرار داشته باشند، جهت متناسب با نقطه جستجو که کمترین سطح مجاورت قرار داشته باشد ( $\psi_{min-pr}$ ) انتخاب خواهد شد و سرعت پرنده تا زمانی که در محدوده قید سرعت باشد برابر با سرعت تخمینی

### 5- آرایش چند ضلعی متغیر

یک آرایش چند ضلعی مشابه شکل 7 پیرامون هدف شکل می‌گیرد. در هر رأس این چند ضلعی یک دایره مجاورت تعريف شده که هر یک از تعقیب‌گرها به سمت یکی از این دایره هدایت شده و سعی در رسیدن درون آن می‌کنند؛ بنابراین با تنظیم زوایا و اندازه‌های چند ضلعی، آرایش برندۀ‌های تعقیب‌گر حول هدف متحرک شکل می‌گیرد که استراتژی همکاری با تعییر استراتژی هدایت توسط شش پارامتر توصیف می‌شود که دو مردم اول پارامترهای اصلی هستند:

- زاویه  $\theta$ : بیان کننده زاویه است که دیسک‌های مجاورت اطراف آن توزیع می‌شوند و آرایش زاویه‌ای این دیسک‌ها حول  $\theta$  متقاضی خواهد بود.
  - زاویه  $\alpha$ : بیان کننده میزان پراکنده شدن تعقیب‌گرها حول زاویه  $\theta$  است. هر چه مقدار این زاویه کمتر، تعقیب‌گرها به سمت زاویه  $\theta$  حرکت کرده و هر چه مقدار آن بیشتر، پرنده‌ها حول هدف پراکنده خواهند شد.
  - زاویه  $\Delta\alpha$ : مقدار مجاز تعییر زاویه  $\alpha$  در هر بازه زمانی شبیه‌سازی است.
  - طول  $A$ : فاصله رئوس چند ضلعی از هدف که می‌تواند برای تمام رئوس برابر و یا متفاوت باشد، همچنین این مقدار می‌تواند در هر مرحله شبیه‌سازی تعییر کرده و یا در طول مأموریت ثابت باشد.
  - اندازه  $\Delta A$ : مقدار مجاز تعییر اندازه  $A$  در هر بازه زمانی شبیه‌سازی است.
  - شعاع دایره‌های مجاورت  $R_p$ : اندازه شعاع دایره‌هایی است که هر کدام از تعقیب‌گرها به سمت آن هدایت می‌شوند. اگر شعاع این دایره‌ها بزرگ اختیار شود آرایش چند ضلعی به طور مداوم به هم می‌ریزد، زیرا که با ورود پرنده‌های تعقیب‌گر به داخل آن‌ها، شروع به تعییر مسیر برای یافتن نقاط تهدید کمینه کرده و جهت‌گیری آن‌ها تعییرات ناگهانی پیدا می‌کند؛ بنابراین شعاع این دایره‌ها مقادیر کوچکی انتخاب می‌شود.
  - مقادیر  $\alpha_{\min}$  و  $\alpha_{\max}$ : کمترین و بیشترین مقدار مجاز زاویه  $\alpha$ .
  - مقادیر  $A_{\min}$  و  $A_{\max}$ : کمترین و بیشترین مقدار مجاز اندازه  $A$ .
- شکل 7 آرایش دیسک‌های مجاورت حول هدف متحرک برای تیمی از تعقیب‌گرها با سه پرنده را نشان می‌دهد.

### 5- تابع هزینه و تنظیم آرایش

در این بخش فرض شده است که مقادیر  $R_p$  ثابت بوده و مقدار تابع هزینه تنظیم‌کننده مقادیر زاویه  $\alpha$  و اندازه  $A$  و در نتیجه نحوه آرایش دیسک‌های مجاورت حول هدف است. زاویه  $\theta$  برابر با جهت تخمینی هدف در هر زمان شبیه‌سازی است. نحوه آرایش دیسک‌ها به گونه‌ای است که در صورت زیاد شدن فاصله و یا اختلاف سرعت میان تعقیب‌گرها و هدف، الگوریتم پهپادهای تعقیب‌گر را به موقعیت‌های جلوتر از هدف هدایت می‌کند تا پرنده‌ها خود را به مجاورت هدف برسانند. در صورت کم شدن فاصله و اختلاف سرعت‌ها، دیسک‌ها حول هدف پراکنده شده و فاصله آن‌ها نیز تا هدف کم می‌شود. با توجه به این توضیحات تابع هزینه به صورت رابطه (42) تعريف شده است.

$$\text{cost}(k) = w_d \frac{\sum_{i=1}^n d_{u_i t}(k)}{n} + \alpha w_v \frac{\sum_{i=1}^n d v_{u_i t}(k)}{n} \quad (42)$$

$n$  تعداد پهپادهای تعقیب‌گر،  $w_d$  ضریب وزنی مربوط به میانگین فاصله‌ها،  $w_v$  ضریب وزنی مربوط به میانگین اختلاف سرعت‌ها و  $\alpha$  ضریب نرمال‌سازی است.  $d_{u_i t}(k)$  فاصله پهپاد  $i$  از هدف و  $d v_{u_i t}(k)$  اختلاف سرعت پهپاد  $i$  و سرعت هدف در زمان شبیه‌سازی  $k$  است.

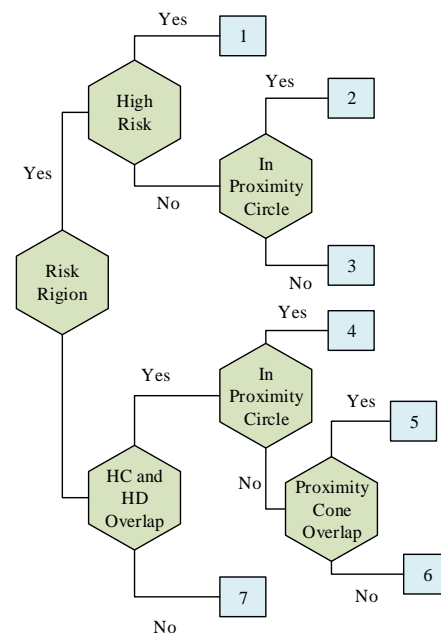


Fig. 6 Decision Tree

شکل 6 درخت تصمیم‌گیری

شده و سرعت با در نظر گرفتن قید سرعت پرنده برابر با سرعت تخمینی هدف به صورت روابط (41,40) تعیین می‌شود.

$$\psi_{\text{cmd}} = \begin{cases} \psi_R, & f_{XY}(X_L, Y_L) \geq f_{XY}(X_R, Y_R) \\ \psi_L, & f_{XY}(X_L, Y_L) < f_{XY}(X_R, Y_R) \end{cases} \quad (40)$$

$$V_{\text{cmd}} = \begin{cases} V_{\min}, & V_{\text{est}} \leq V_{\min} \\ V_{\text{est}}, & V_{\min} < V_{\text{est}} < V_{\max} \\ V_{\max}, & V_{\text{est}} \geq V_{\max} \end{cases} \quad (41)$$

### 5- الگوریتم همکاری

همکاری چندین پهپاد کارایی سیستم را از سه منظر افزایش می‌دهد:

- آرایش منطقه کلی تحت پوشش سنسورهای پهپادها

- آرایش انعطاف پهپادها برای یافتن مسیر پروازی بهتر با توجه به موانع، مناطق پرواز ممنوع، اجتناب از برحورد و کمینه‌سازی سطح تهدیدات

- بهبود تخمین با فراهم ساختن منابع اندازه‌گیری بیشتر

برای هر پرنده یک دیسک مجاورت تعريف شده و آرایش آن‌ها به صورت یک چند ضلعی است که براساس یک تابع هزینه تنظیم می‌شود. تابع هزینه بیان کننده چگونگی تعییر مکان دیسک‌ها برای رسیدن به مجاورت هدف در فواصل زمانی گستته است. از الگوریتم هدایتی ارائه شده در بخش 4 برای تعقیب مراکز دیسک‌های مجاورت و اجتناب از موانع و مناطق پرواز ممنوع برای هر پهپاد استفاده شده است. همکاری میان پهپادها در تخمین مسیر هدف براساس اندازه‌گیری‌های با اغتشاش نیز صورت گرفته است. اگر امکان اندازه‌گیری برای یک پرنده فراهم نباشد، در صورت قرار گرفتن پرنده دیگر در برد ارتباطی می‌توان از اندازه‌گیری‌های آن استفاده کرد. در صورت در دسترس نبودن مقادیر اندازه‌گیری از الگوریتم تخمین برای پیش‌بینی حرکت هدف استفاده شده است.

همچنین در نقشه تهدیدات احتمالی هر پرنده یک منبع تهدید متغیر با شعاع تهدید مشخص منطبق با موقعیت پرنده دیگر تعريف شده است تا از برخود پرنده‌های تعقیب‌گر با یکدیگر اجتناب شود.

1- موقعیت هدف، 2- موقعیت دیگر پرنده‌ها و 3- اندازه‌گیری‌های ارسال شده از دیگر پرنده‌ها. مازول سنسور موقعیت واقعی هدف را دریافت کرده و برای مدل‌سازی نویز اندازه‌گیری، اندازه‌گیری‌ها را با نویز سفید گوسی جمع می‌کند، همچنین این مازول موقعیت پرنده را از زیرسیستم‌های دینامیک دریافت می‌کند. الگوریتم تخمین، اندازه‌گیری‌های مازول سنسور و دیگر اندازه‌گیری‌های ارسال شده از پرنده‌ها را دریافت می‌کند. از اندازه‌گیری‌ها برای تخمین موقعیت، جهت و سرعت هدف استفاده می‌شود. مازول ارتباطی، موقعیت پرنده و اندازه‌گیری‌های هدف را در صورت بودن در محدوده برد مخابراتی به کار می‌رود. الگوریتم هدایت منفرد و همکار نیز در لحظات زمانی گسته و نه‌الاماً یکسان با نرخ زمانی تخمین اجرا می‌شود.

## 6-2- نتایج شبیه‌سازی الگوریتم هدایت

ابتدا الگوریتم هدایت جستجوی نقطه‌ای برای دو حالت مختلف شبیه‌سازی شده است. برای شبیه‌سازی عملیات تعقیب یک منطقه عملیاتی با 14 منبع تهدید و 3 منطقه پرواز ممنوع در محیطی به وسعت  $45\text{km} \times 45\text{km}$  شبیه‌سازی شده است. دو حالت شبیه‌سازی شامل موارد زیر می‌شوند:

- شروع تعقیب در حالی که پرنده در پشت هدف قرار دارد و هدف به طور پیوسته شتاب می‌گیرد.
  - هدف به طور پیوسته شتاب منفی می‌گیرد و در نهایت سرعت ثابتی کمتر از سرعت کمینه پرنده خواهد داشت.
- در تمام موارد پرنده تعقیب‌گر سرعت بیشینه  $650\text{km/h}$  و سرعت کمینه  $180\text{km/h}$  دارد. حداکثر زاویه تغییر جهت آن برابر با  $30^\circ$  درجه و بازه‌های زمانی شبیه‌سازی برابر با 3 ثانیه است. مقادیر  $\alpha$  و  $A$  مربوط به استراتژی برای  $\text{HDC}^*$  مربوط به تعقیب‌گر، مسیر مربوط به تعقیب هدف و هدف طبق توابع (45,44) می‌گیرد. با این تفاوت که با کم شدن مقدار تابع هزینه، مقدار  $A$  نیز کم خواهد شد و بر عکس.

$$V_t(t) = 1000[\sin(0.00002 t) + 0.109] \quad (49)$$

$$\psi_t(t) = 1.7 - \frac{t}{215} + \left(\frac{t}{580}\right)^3 + 3 \sin(0.002t) \quad (50)$$

موقعیت، سرعت و جهت اولیه هدف به ترتیب برابر با  $(13, -38)\text{km}$ ،  $392.4\text{km/h}$  و  $97.4^\circ$  درجه است، همچنین موقعیت، سرعت و جهت اولیه پرنده برابر با  $(14, -31)\text{km}$ ،  $288\text{km/h}$  و  $30^\circ$  درجه است. برد سنسور پرنده برابر با 9 کیلومتر و شعاع دایره مجاورت برابر با 6 کیلومتر در نظر گرفته شده است. براساس شکل 8 استراتژی موفق به ایجاد مسیر امکان‌پذیری شده است که هدف را تعقیب کرده، همزمان سطح تهدید را کمینه ساخته و از مناطق پرواز ممنوع اجتناب کرده است. در ابتدای تعقیب، هدف در پشت پرنده قرار دارد و پرنده برای رسیدن به هدف دور زده است. با توجه به شکل 9 می‌توان دید که سرعت پرنده همیشه در محدوده سرعت مجاز آن قرار دارد و تا زمانی که پرنده در داخل دایره مجاورت قرار دارد، سرعت پرنده و سرعت تخمینی هدف با یکدیگر برابرند.

مورد دوم در شکل‌های 10 و 11 نشان داده شده است. موقعیت، سرعت و زاویه ابتدایی هدف به ترتیب برابر با  $(-1, -32)\text{km}$ ،  $356.4\text{km/h}$  و  $57.29^\circ$  درجه

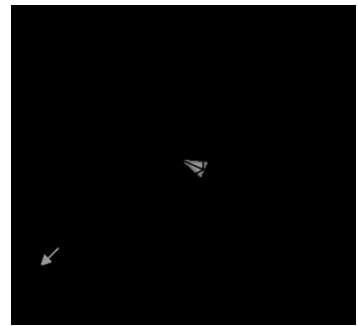


Fig. 7 Formation of the proximity disks

شکل 7 آرایش دیسک‌های مجاورت

دو مقدار آستانه  $cost_L$  و  $cost_U$  برای هزینه تعريف شده است که به ازای مقادیر هزینه بین آن‌ها، زاویه  $\alpha$  میان دو مقدار  $\alpha_{\min}$  و  $\alpha_{\max}$  به صورت خطی طبق رابطه (43) تغییر می‌کند.

$$\alpha(k) = \begin{cases} \alpha_{\max}, & cost < cost_L \\ \alpha_{\min}, & cost > cost_U \\ \frac{(\alpha_{\max} - \alpha_{\min})}{(cost_L - cost_U)} (cost(k) - cost_L) + \alpha_{\max}, & \text{otherwise} \end{cases} \quad (43)$$

همان‌طور که گفته شد تغییرات زاویه  $\alpha$  توسط مقدار  $\Delta\alpha$  نیز محدود شده است که روابط (44)-(46) این محدودیت را بیان می‌کنند.

$$\alpha(k) = \min(\alpha(k), \alpha(k-1) + \Delta\alpha) \quad (44)$$

$$\alpha(k) = \max(\alpha(k), \alpha(k-1) - \Delta\alpha) \quad (45)$$

تعیین مقدار  $A$  نیز مانند  $\alpha$  و به صورت روابط (47)-(49) صورت می‌گیرد. با این تفاوت که با کم شدن مقدار تابع هزینه، مقدار  $A$  نیز کم خواهد شد و بر عکس.

$$A(k) = \begin{cases} A_{\min}, & cost < cost_L \\ A_{\max}, & cost > cost_U \\ \frac{(A_{\min} - A_{\max})}{(cost_L - cost_U)} (cost(k) - cost_L) + A_{\min}, & \text{otherwise} \end{cases} \quad (46)$$

$$A(k) = \min(A(k), \alpha(k-1) + \Delta A) \quad (47)$$

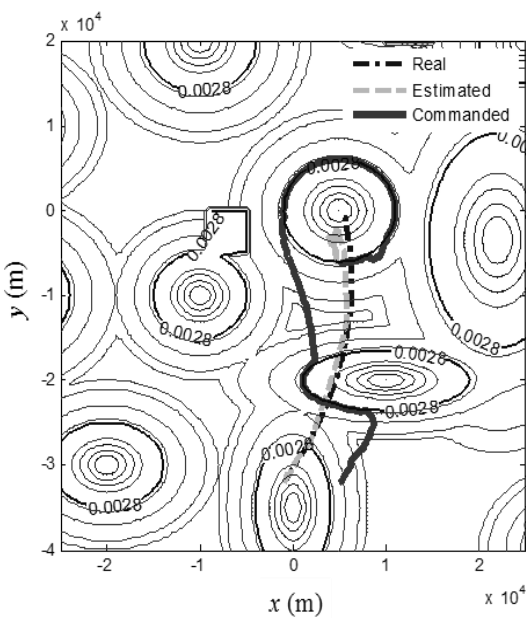
$$A(k) = \max(A(k), \alpha(k-1) - \Delta A) \quad (48)$$

## 6- شبیه‌سازی و نتایج

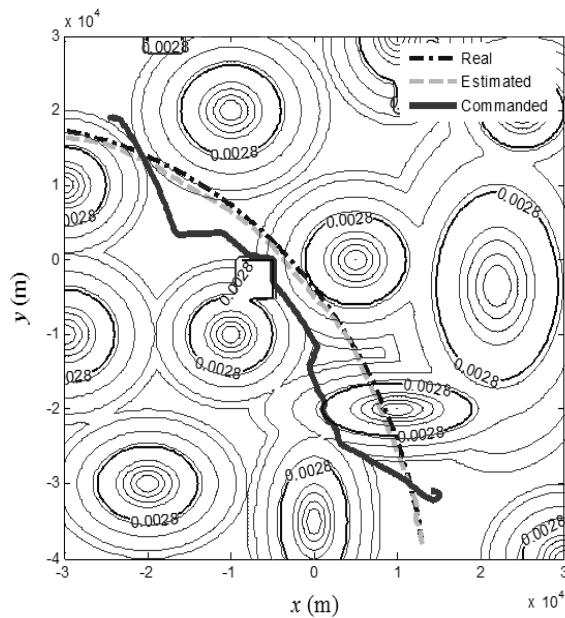
در این بخش ابتدا محیط شبیه‌سازی تشریح شده و سپس نتایج برای شبیه‌سازی الگوریتم‌های هدایت جستجوی نقطه‌ای و الگوریتم همکاری ارائه شده است. در تمام شبیه‌سازی‌ها حرکت هدف براساس توابع سرعت و جهت تعیین شده است. هدف هوشمند نیست و موقعیت تعقیب‌گرها تأثیری در حرکت پرنده هدف نخواهد داشت.

## 6-1- محیط شبیه‌سازی

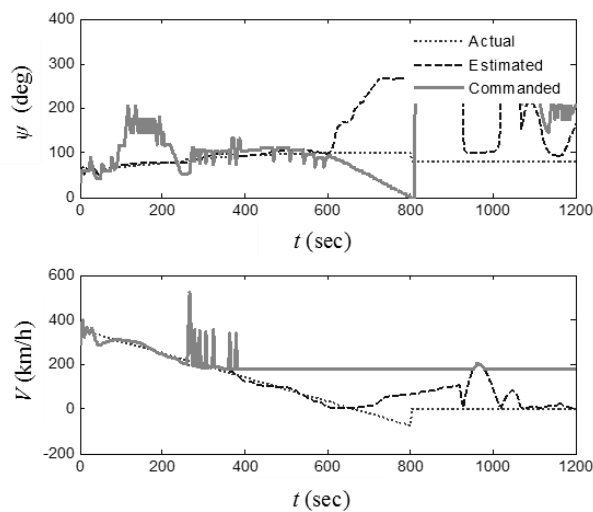
الگوریتم‌های هدایت و تخمین در یک محیط شبیه‌سازی مازولار اجرا شده‌اند. مدل شبیه‌سازی از 5 سیستم اصلی تشکیل شده که عبارت از دینامیک هدف، دینامیک پرنده، سنسور، مخابرات، الگوریتم تخمین و الگوریتم هدایت است. زیرسیستم دینامیک هدف شامل مدل حرکت هدف در محیط عملیات می‌شود. زیرسیستم هر پرنده سه مجموعه از ورودی‌ها را دریافت می‌کند:



شکل 10 مسیر پهپاد در تعقیب هدف، مورد دوم



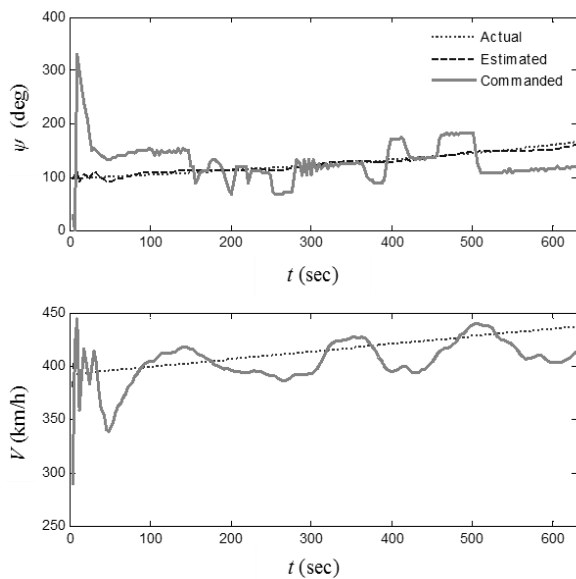
شکل 8 مسیر پهپاد در تعقیب هدف، مورد اول



شکل 11 سرعت و جهت واقعی و تخمینی هدف و سرعت و جهت دستوری پرنده، مورد دوم

سعی در کمینه‌کردن سطح تهدید داشته است. از ثانیه حدود 400 سرعت پرنده به مقدار کمینه خود کاهش یافته و این سرعت در ادامه گردش حول منطقه غیرمجاز حفظ شده است. باید توجه کرد که به منظور رسیدن به دایره مجاورت، سرعت پرنده چندین بار به مقدار بیشینه خود افزایش یافته است. به نظر می‌رسد که در ثانیه 800 یک تغییر زاویه ناگهانی رخ داده است که در واقع به دلیل حفظ مقادیر زاویه بین بازه 0 و 180 درجه به این صورت دیده می‌شود.

در تمام موارد بالا از مناطق پرواز ممنوع و سطح بالای تهدید اجتناب شده است. هر چند در زمان‌های بسیار کمی و برای دور زدن این مناطق پرنده وارد این محدوده‌ها شده است، اما این به معنی شکست در عملیات نیست. زیرا که مقدار یک پارامتر مأموریت بوده و معرف یک حاشیه اطمینان است تا پرنده وارد مناطق غیرمجاز اصلی نشود. دلیل پرواز در مرز منطقه پرواز



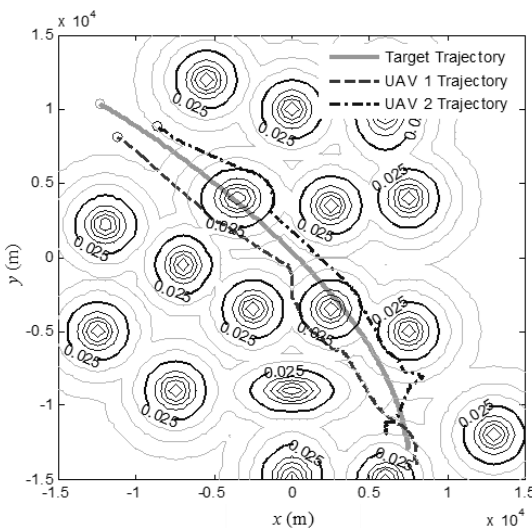
شکل 9 سرعت و جهت واقعی و تخمینی هدف و سرعت و جهت دستوری پرنده، مورد اول

است و هدف طبق توابع (52,51) حرکت می‌کند. موقعیت، سرعت و زاویه ابتدایی پرنده برابرند با  $(5, -32)$  km و 30 درجه و شعاع دایره‌های مجاورت و سنسور به ترتیب برابر با 5 و 7.5 کیلومتر است.

$$V_t(t) = 1000[0.099 - \sin(0.00015t)] \quad (51)$$

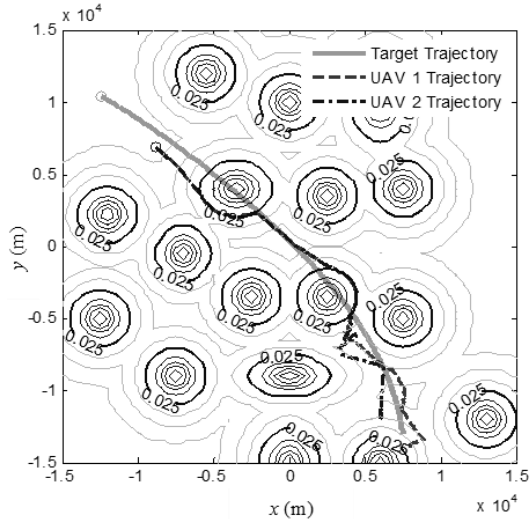
$$\psi_t(t) = 1 - \frac{t}{122} + \left(\frac{t}{615}\right)^3 + 5 \sin(0.002 t) \quad (52)$$

هدف پیوسته سرعت خود را کاهش داده و در ثانیه 600 در داخل منطقه پرواز ممنوع (سطح تهدید غیرمجاز) متوقف می‌شود. در این حالت که فاصله تا هدف بیشتر از شعاع دیسک مجاورت است، پرنده به دور منطقه پرواز ممنوع گردش می‌کند. در نواحی کوچکی که پرنده داخل دایره مجاورت شده،



**Fig. 12** Trajectories of a two-member cooperative team of UAVs in target tracking

شکل 12 مسیر پهپادهای تیم دو عضوی در تعقیب هدف در حالت همکار



**Fig. 13** Trajectories of a two-member noncooperative team of UAVs in target tracking

شکل 13 مسیر پهپادهای تیم دو عضوی در تعقیب هدف در حالت غیرهمکار

نتایج بهبود عملکرد حالت همکار را اثبات می‌کنند. مجموع فاصله تا هدف در حالت همکار بسیار کمتر از حالت غیرهمکار است و این یعنی احتمال گم کردن هدف در حالت همکار کمتر است.

## 7- جمع‌بندی

در این پژوهش یک استراتژی همکار برای پرنده‌های بدون سرنشین خودکار به منظور تعقیب یک هدف متحرک طراحی و با موفقیت شبیه‌سازی شد. عملیات تعقیب در یک محیط با منابع مختلف تهدید صورت گرفته است. برای تعریف تمام این منابع در یک چهارچوب واحد و آسانی به روزرسانی آن، نقشه تهدیدات احتمالی توسط توابع گاوین و توابع توزیع یکنواخت برای تعریف منطقه عملیات ایجاد شده است. استراتژی هدایت از موقعیت، سرعت و جهت کنونی و موقعیت آینده هدف و نیز از نقشه تهدیدات احتمالی محلی برای تعقیب هدف استفاده کرده است. برای پیش‌بینی موقعیت آینده هدف و

منعو، ماندن در داخل دایره مجاورت و برقراری مصالحه میان مسیر امن تر و مسیر نزدیک‌تر به هدف است؛ بنابراین با بزرگ‌تر شدن دایره مجاورت، سطح تهدیدات کاهش خواهد یافت. اما اگر شعاع دایره مجاورت بزرگ‌تر از دایره برد سنسور باشد، احتمال گم کردن هدف زیاد خواهد بود.

## 6-3- نتایج شبیه‌سازی الگوریتم همکاری

برای بررسی کارایی الگوریتم هدایت، عملیات تعقیب هدف متحرک توسط دو پرنده شبیه‌سازی شده است. مورد غیرهمکار نیز جهت مقایسه عملکرد الگوریتم همکاری شبیه‌سازی شده‌اند. در تمام موارد تعقیب هدف در یک منطقه پرخطر به مساحت  $15\text{km} \times 15\text{km}$  اتفاق می‌افتد. منطقه عملیات توسط یک PTEM شامل 19 pdf فرمول‌بندی شده است. حرکت هدف از موقعیت اولیه (km 54,53) آغاز شده و طبق روابط (7.5, -13) آغاز شده و طبق روابط (6, -12) قرار گرفته و شعاع 4km است.

$$V_t(t) = 1000[\sin(0.00002 t + 0.022) \text{ m/s}] \quad (53)$$

$$\psi_t(t) = 1.7 - \frac{t}{200} + \left(\frac{t}{650}\right)^3 + 3 \sin(0.002 t) \text{ rad} \quad (54)$$

هر دو پرنده تعقیب‌گر دارای سرعت کمینه 72km/h و سرعت بیشینه 180km/h هستند. بیشینه تغییر جهت مجاور پرنده‌ها برابر با 10deg/sec است. سرعت و جهت ابتدایی پرنده‌ها به ترتیب برابر با 144km/h و 60 درجه است. پرنده 1 و 2 ابتدا در موقعیت (km 8, -14) و (km 6, -12) قرار گرفته و شعاع 4km است.

نتیجه شبیه‌سازی برای یک تیم دو عضوی از پهپادهای خودکار در تعقیب هدف متحرک به صورت همکار در شکل 12 نشان داده شده است. پهپادها موفق به تعقیب هدف در تمام طول مأموریت شده و هیچ‌گاه وارد مناطق با سطح تهدید غیرمجاز نشده‌اند. مسیر تعقیب‌گرها در دو سمت هدف امتداد دارد و این موضوع دو مزیت دریبی دارد. نخست این‌که در صورت تغییر مسیر هدف به یکی از دو سمت، یک تعقیب‌گر در نزدیکی هدف خواهد بود و اطلاعات اندازه‌گیری را به دیگر پرنده ارسال می‌کند، در نتیجه احتمال گم کردن هدف کاهش می‌یابد. دیگر این‌که احتمال برخورد پهپادها با یکدیگر بسیار کم است.

برای مقایسه حالت همکار و غیرهمکار، شبیه‌سازی دیگری انجام شده که نتیجه آن در شکل 13 قابل مشاهده است. در این حالت آرایش دیسک‌های مجاورت ثابت بوده و منطبق بر موقعیت هدف است. ارتباط مخابراتی میان پرنده‌ها برقرار نیست و موقعیت پرنده‌ها و اندازه‌گیری‌ها به اشتراک گذاشته نمی‌شود. مسیر پرنده‌ها هر دو در پست سر هدف ادامه یافته و قسمت زیادی از مسیر پهپادها منطبق برهم است. در نتیجه احتمال برخورد میان پهپادهای تیم زیاد است. در جدول 1 اطلاعات کمی جهت مقایسه عملکرد پهپادها در دو حالت همکار و غیرهمکار با توجه به فاصله از هدف، سطح تهدیدات و طول مسیر طی شده ارائه شده است. باید توجه داشت که اطلاعات ارائه شده برابر با مجموع اطلاعات کمی اعضای تیم است.

**جدول 1** مقایسه عملکرد پهپادها در دو حالت همکار و غیرهمکار

**Table 1** comparison of the performance of the UAVs in a cooperative case and a noncooperative case

حالت همکار	حالت غیرهمکار
7.453	7.782
61.9 km	63.3 km
1144 km	2110 km
مجموع فاصله تا هدف	

- [5] F. Eric, L. Dale, Cooperative stand-off tracking of moving targets by a team of autonomous aircraft, *Proceedings of The Guidance, Navigation, and Control Conference and Exhibit*, San Francisco: AIAA, pp. 6363, 2005.
- [6] R. W. Beard, T. W. McLain, Multiple UAV cooperative search under collision avoidance and limited range communication constraints, *Proceedings of The 42nd Conference on Decision and Control*, Maui: IEEE, Vol. 1, pp. 25-30, 2003.
- [7] L. F. Bertuccelli, J. P. How, Search for dynamic targets with uncertain probability maps, *Proceedings of The American Control Conference*, Minneapolis: IEEE, p. 6, 2006.
- [8] J. Myungsoo, A. I. Chaudhry, R. D'Andrea, The navigation of autonomous vehicles in uncertain dynamic environments: a case study, *Proceedings of The 41st Conference on Decision and Control*, Las Vegas: IEEE, Vol. 4, pp. 3770-3775, 2002.
- [9] A. Dogan, Probabilistic approach in path planning for UAVs, *Proceedings of The International Symposium on Intelligent Control*, Houston: IEEE, pp. 608-613, 2003.
- [10] T. Shannon, C. Anthony, J. Eric, On-line trajectory optimization including threats and targets, *Proceedings of The Guidance, Navigation, and Control Conference and Exhibit*, Rhode Island: AIAA, p. 5139, 2004.
- [11] C. Goerzen, Z. Kong, B. Mettler, A survey of motion planning algorithms from the perspective of autonomous UAV guidance, *Intelligent and Robotic Systems*, Vol. 57, No. 1-4, pp. 65-100, 2010.
- [12] A. Dogan, U. Zengin, Unmanned aerial vehicle dynamic-target pursuit by using probabilistic threat exposure map, *Guidance, Control and Dynamics*, Vol. 29, No. 4, pp. 944-954, 2006.
- [13] M. Negnevitsky, *Artificial intelligence: a guide to intelligent systems*, Second Edition, pp. 25-54, England: Addison-Wesley, 2005.
- [14] M. Jun, R. D. Andrea, Probability map building of uncertain dynamic environments with indistinguishable obstacles, *Proceedings of The American Control Conference*, Denver: IEEE, Vol. 4, pp. 3417-3422, 2003.
- [15] U. Zengin, A. Dogan, Dynamic target pursuit by UAVs in probabilistic threat exposure map, *Proceedings of The 3rd Unmanned Unlimited Technical Conference*, Chicago: AIAA, p. 6580, 2004.

نیز برای تخمین موقعیت آن در صورت خارج شدن از دایره برد سنسور از تخمین گر مرتبه دوم به روش محاسبه دستهای و حالت ترتیبی استفاده شده است. برای به کار بردن استراتژی در مناطق و مأموریت‌های مختلف، الگوریتم هدایت پارامتری‌سازی شده که مهم‌ترین این پارامترها عبارت از شعاع دیسک مجاورت و سطح تهدید ممنوعه است. الگوریتم هدایت در دو حالت مختلف پوشش‌دهنده حالت‌های مهم به صورت موقتی آمیز شیوه‌سازی شد.

استراتژی همکاری براساس یکتابع هزینه برای ارتقاء توان تیم پهپادها طراحی و پیاده‌سازی شد. به واسطه همکاری امکان به اشتراک گذاشتن اطلاعات میان پرندگان و گرفتن آرایش هوشمند فراهم شد و در نتیجه آن انعطاف پهپادها برای یافتن مسیر حرکت افزایش یافته و احتمال گم کردن هدف و شکست در عملیات کاهش پیدا کرده است.

برای افزایش قدرت الگوریتم در تعقیب اهداف مختلف می‌توان از تخمین گرهای دیگر مانند فیلتر کالمون استفاده کرد، همچنین برای نزدیکتر شدن به حالت واقعی باید الگوریتم‌های تعقیب و همکاری برای یک منطقه عملیات سه بعدی طراحی و پیاده‌سازی شوند.

## 8- مراجع

- [1] U.S. Army, *Unmanned aircraft systems roadmap 2010-2035*, pp. 305-320, New York: UAS Center of Excellence, 2010.
- [2] F. Kendoul, Survey of advances in guidance, navigation, and control of unmanned rotorcraft systems, *Field Robotics*, Vol. 29, No. 2, pp. 315-378, 2012.
- [3] R. O. Saber, W. B. Dunbar, R. M. Murray, Cooperative control of multi-vehicle systems using cost graphs and optimization, *Proceedings of The American Control Conference*, Denver: IEEE, Vol. 3, pp. 2217-2222, 2003.
- [4] S. Tom, H. Jonathan, F. Eric, Decentralized cooperative trajectory planning of multiple aircraft with hard safety guarantees, *Proceedings of The Guidance, Navigation, and Control Conference and Exhibit*, Rhode Island: AIAA, p. 5141 , 2004.